

TEMA 6

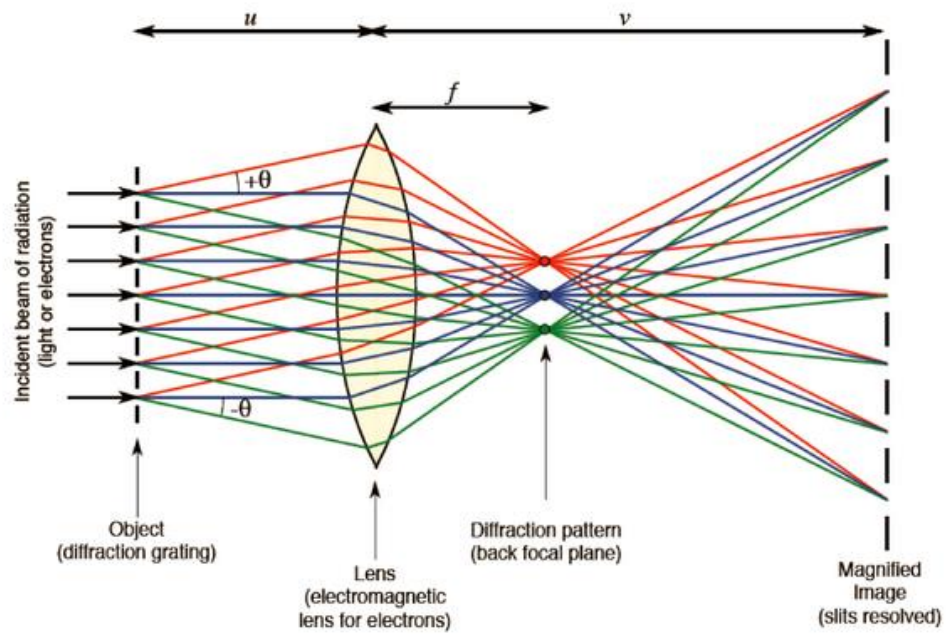
Difracción

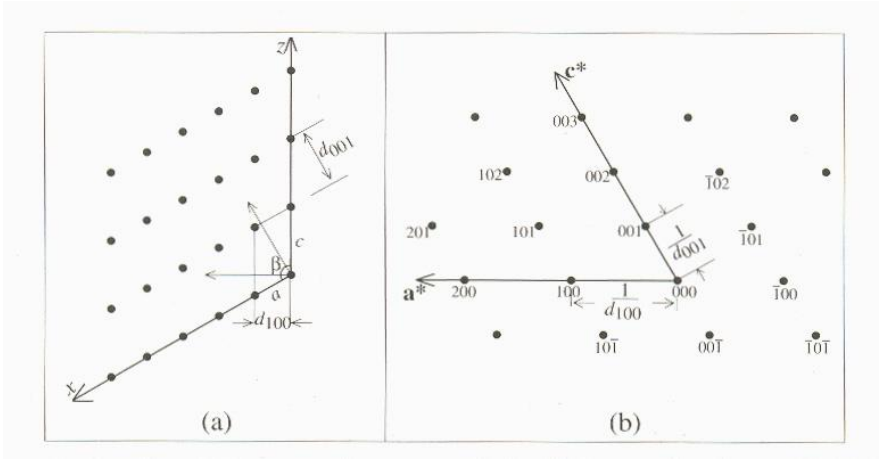
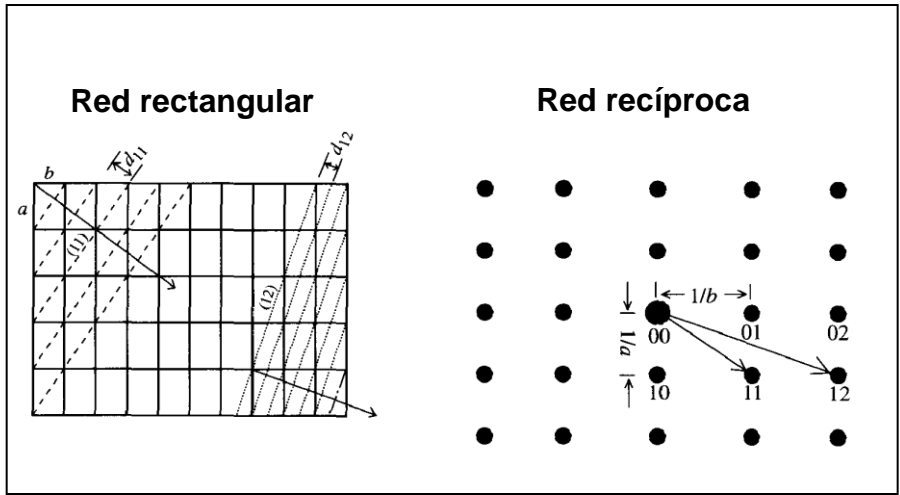
Introducción a la difracción

La teoría de Abbe de la formación de imágenes (1873)



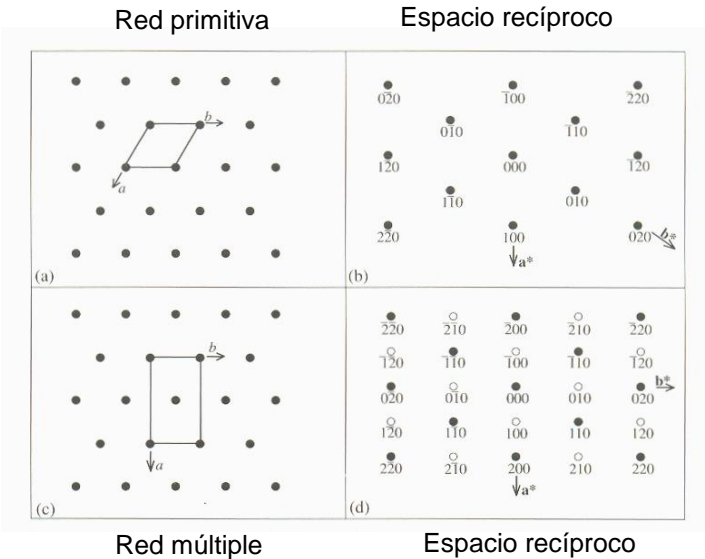
Ernst Abbe





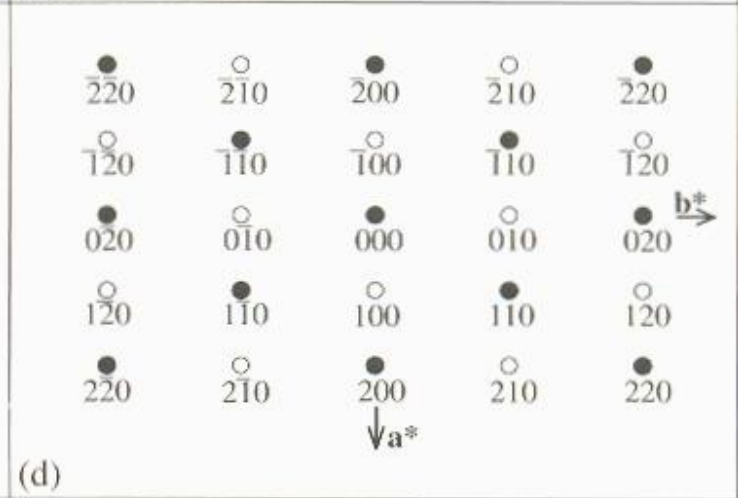
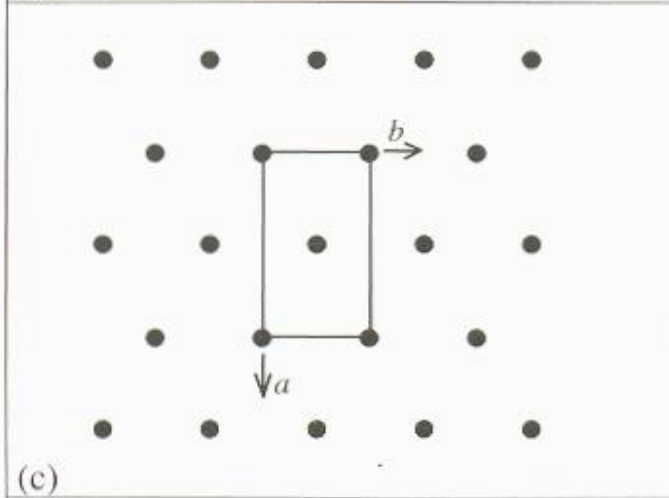
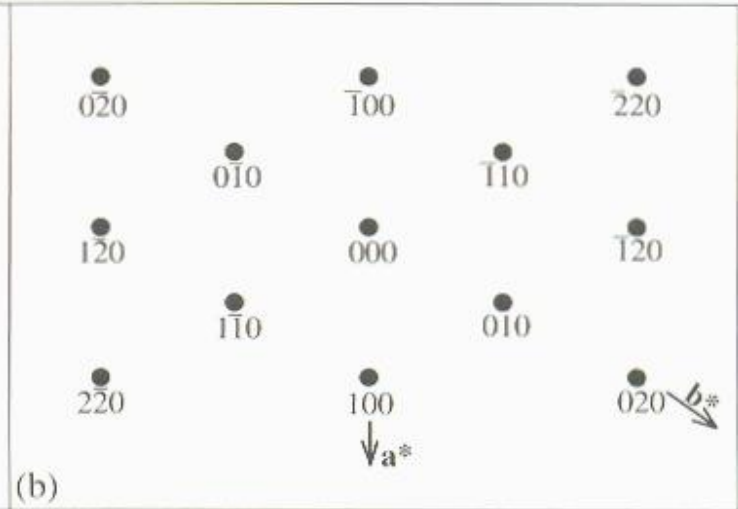
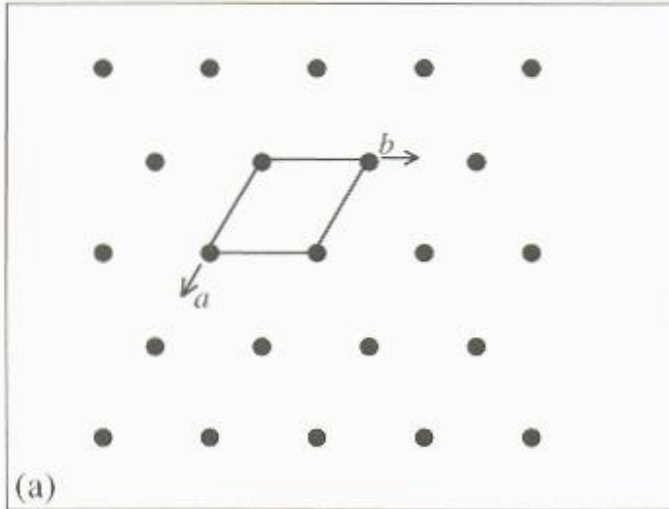
a) Sección ac de una red monoclinica mostrando el espaciado de los planos (100) y (001)

b) Red recíproca a*c* con la misma orientación



Red primitiva

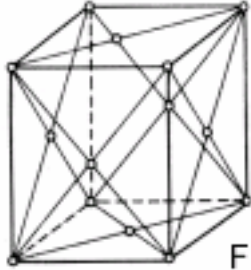
Espacio recíproco



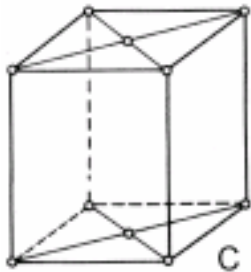
Red múltiple

Espacio recíproco

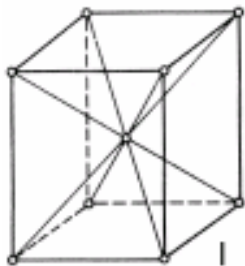
Ausencias sistemáticas



Redes F : estarán ausentes todos los puntos de la red recíproca que correspondan a planos con índices h,k,l mixtos (pares e impares)



Redes C : estarán ausentes todos los puntos de la red recíproca que correspondan a planos para los cuales $h+k$ sea impar



Redes I : estarán ausentes todos los puntos de la red recíproca que correspondan a planos para los cuales $h+k+l$ sea impar

Los ejes helicoidales y los planos de deslizamiento también imponen condiciones de extinción

Difracción de rayos X

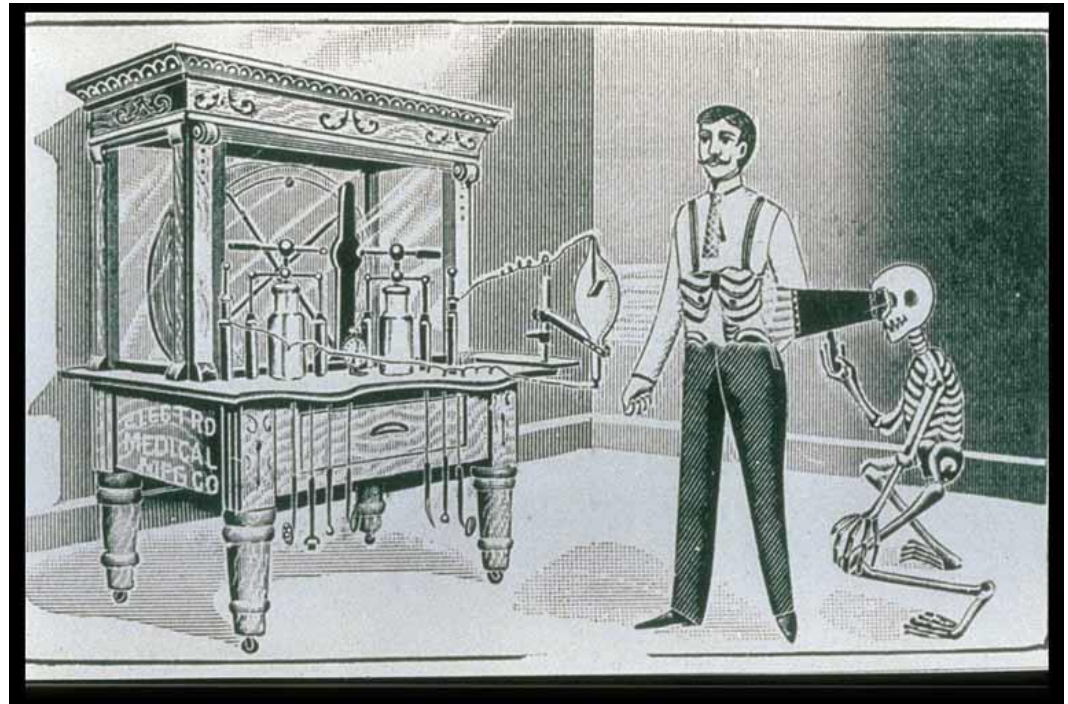
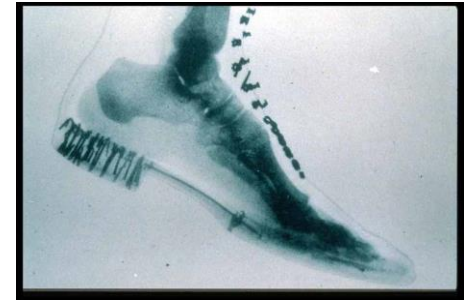
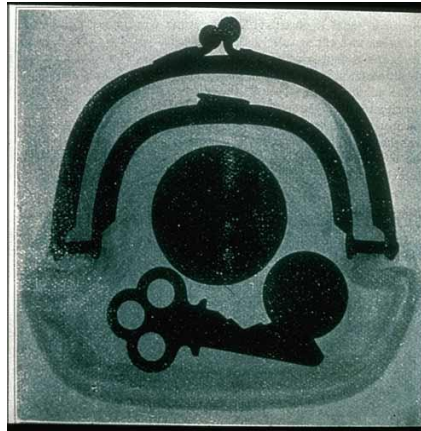
Naturaleza y generación de los rayos X



Wilhem Conrad Röntgen

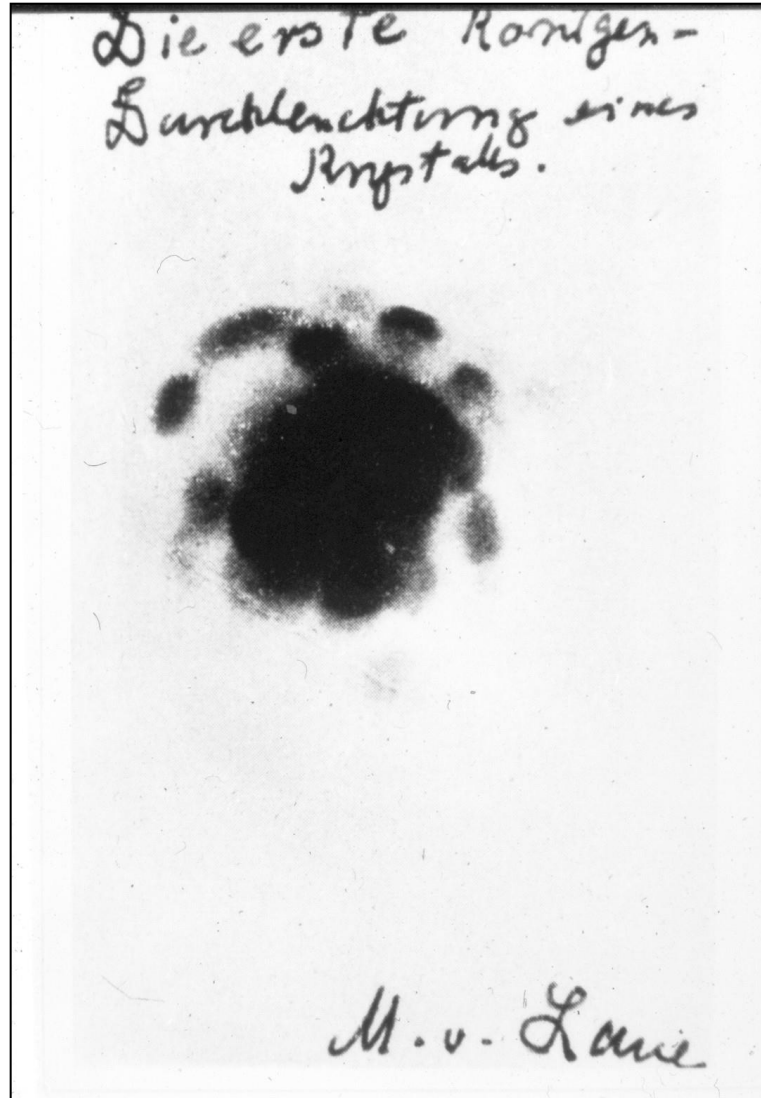


Laboratorio de Röntgen en la Universidad de Wurtzburg



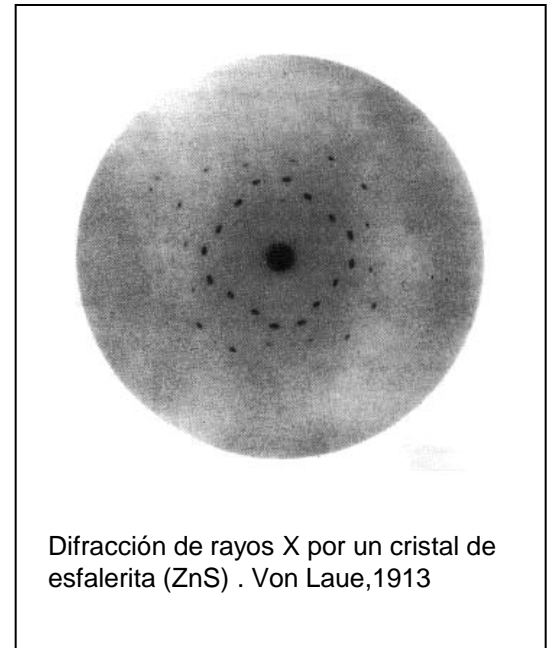


Max von Laue



Primera difracción de rayos X por un cristal de Sulfato de cobre (Friedrich et al. 1912)

Experimento de Laue
Múnich (1912)

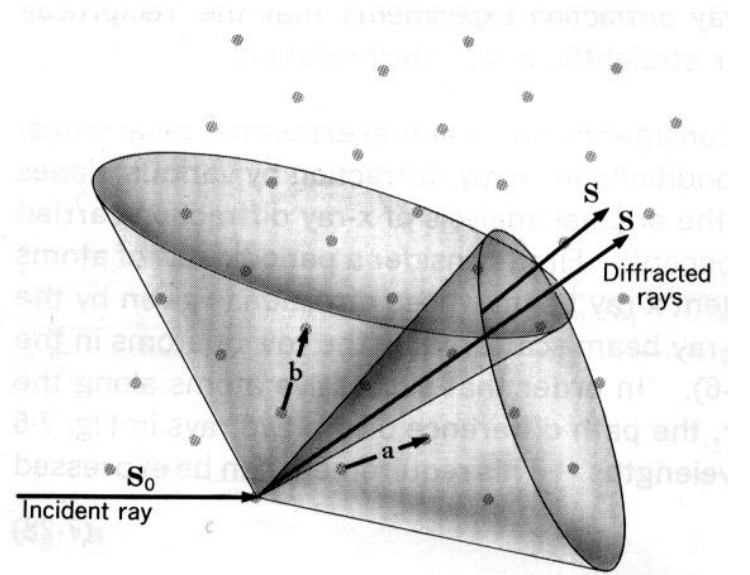
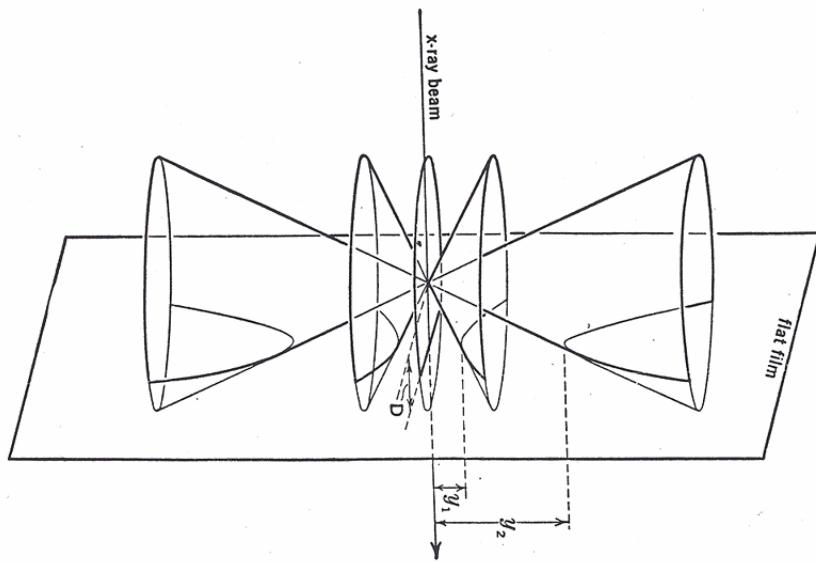


Difracción de rayos X por un cristal de esfalerita (ZnS) . Von Laue, 1913

2014

international year of
crystallography



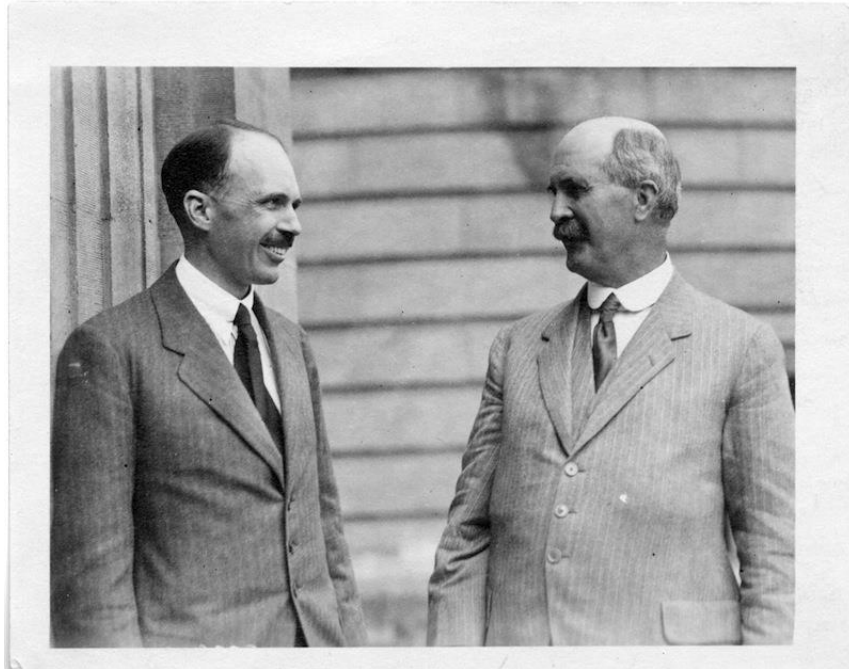




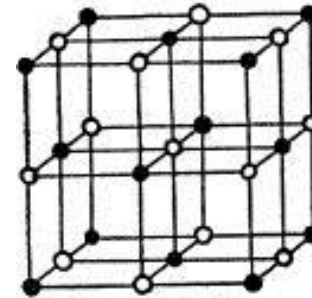
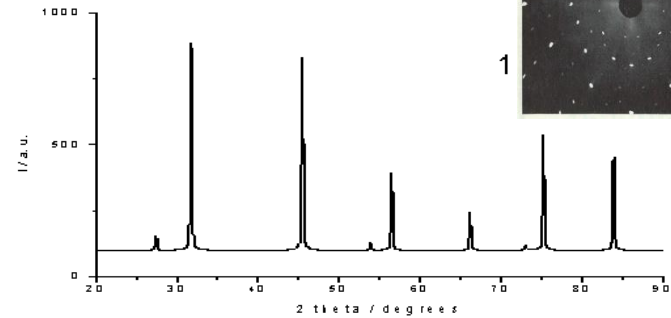
W.H Bragg (1862-1942)
W.L. Bragg (1890-1971)

Relación entre espaciado interplanar e índices del plano para un cristal triclinico

$$\frac{1}{d^2} = \frac{\left[\frac{h}{a} \operatorname{sen} \alpha\right]^2 + \left[\frac{k}{b} \operatorname{sen} \beta\right]^2 + \left[\frac{l}{c} \operatorname{sen} \gamma\right]^2 + \left(\frac{2hk}{ab}\right)(\cos \alpha \cos \beta - \cos \gamma)}{1 - \cos^2 \alpha - \cos^2 \beta - \cos^2 \gamma + 2 \cos \alpha \cos \beta \cos \gamma} + \frac{\left(\frac{2kl}{ac}\right)(\cos \beta \cos \gamma - \cos \alpha) + \left(\frac{2hl}{ac}\right)(\cos \alpha \cos \gamma - \cos \beta)}{1 - \cos^2 \alpha - \cos^2 \beta - \cos^2 \gamma + 2 \cos \alpha \cos \beta \cos \gamma}$$



W. Lawrence (izq.) y W. Henry (der.) Bragg.

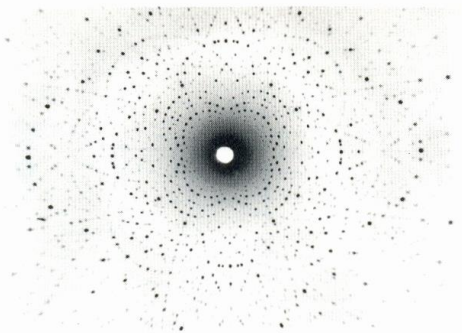


Structure of sodium chloride. After W. L. Bragg (1913). *The Structure of Some Crystals as indicated by their Diffraction of X-rays*. Proc. Roy. Soc. 89, 248-277.

The Nobel Prize in Physics 1915 was awarded jointly to Sir William Henry Bragg and William Lawrence Bragg *"for their services in the analysis of crystal structure by means of X-rays"*

Factor de estructura

- Punto del espacio recíproco → plano hkl
- Punto del espacio recíproco → onda difractada (amplitud y fase)
- Onda difractada → suma de dispersiones atómicas



circón (4/mmm)

$$f_i^0$$

Factor de dispersión atómico

$$\phi_i = 2\pi(hx_i + ky_i + lz_i)$$

fase

h, k y l índices del plano
 x_i, y_i y z_i coordenadas fraccionarias del átomo en la celda unidad

Amplitud de la dispersión de un átomo individual: $f_i = f_i^0 [\cos 2\pi(hx_i + ky_i + lz_i) + \text{sen} 2\pi(hx_i + ky_i + lz_i)]$

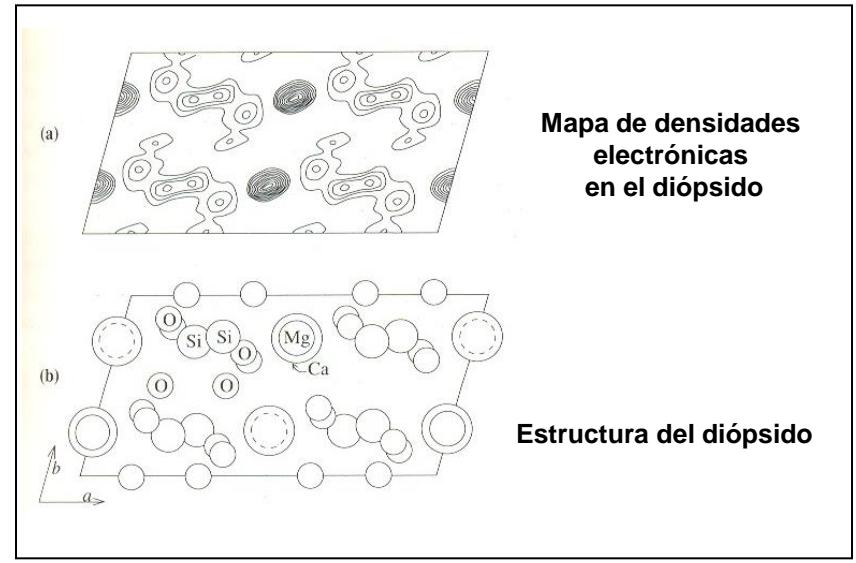
Factor de estructura (combinación amplitud y fase):

$$F_{hkl} = \sum f_i^0 [\cos 2\pi(hx_i + ky_i + lz_i) + \text{sen} 2\pi(hx_i + ky_i + lz_i)]$$

$$I_{hkl} = |F_{hkl}|^2$$



Espacios recíprocos ponderados
 Posición + intensidad

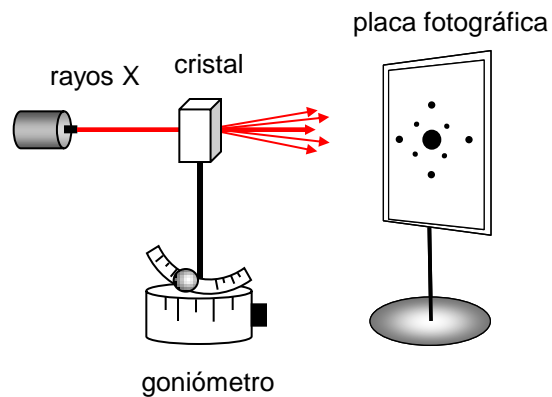


Mapa de densidades electrónicas en el diópsido

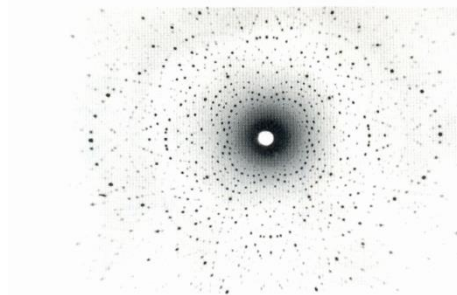
Estructura del diópsido

Métodos de cristal único

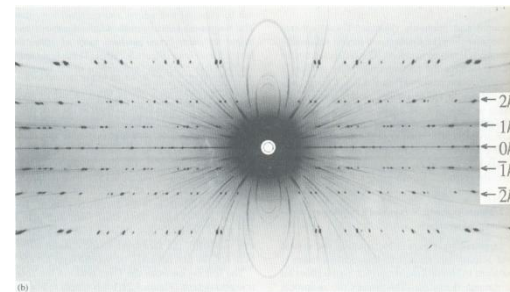
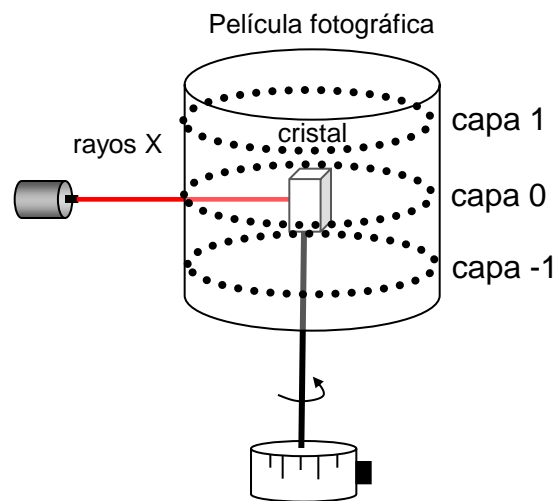
1.- Lauegramas:



Lauegrama de circón (4/mmm)

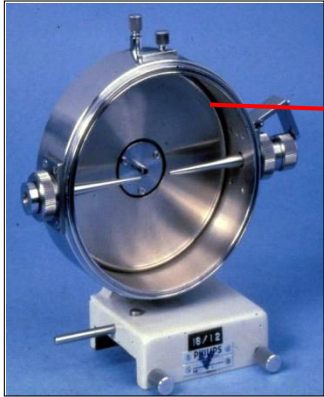


2.-Cristal rotatorio



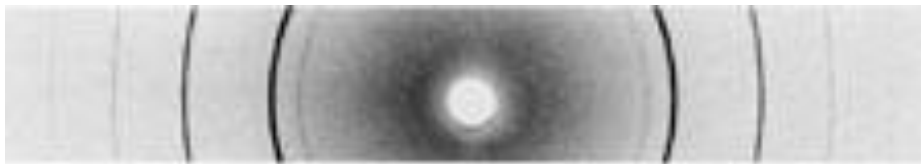
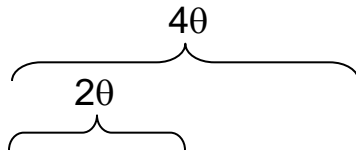
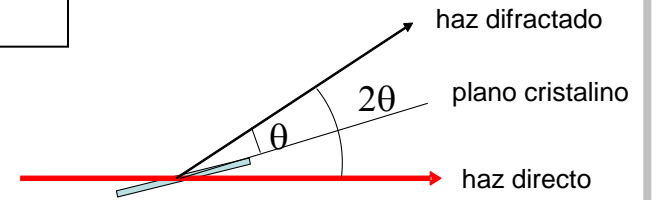
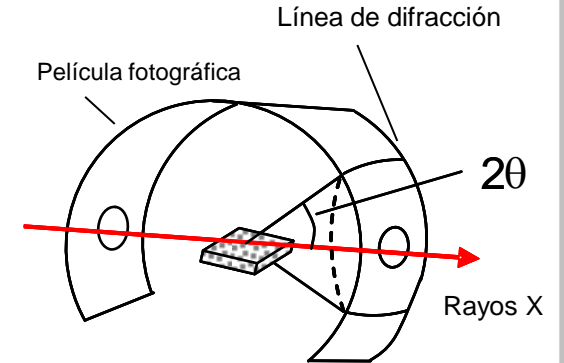
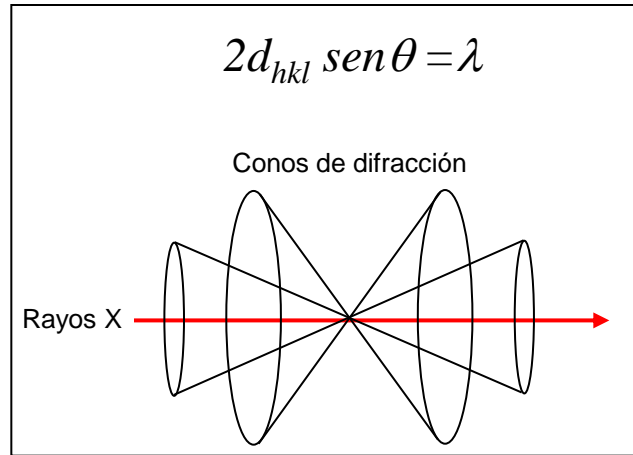
Zircón eje de rotación = a

Método del polvo



Película fotográfica

cámara Debye-Scherrer

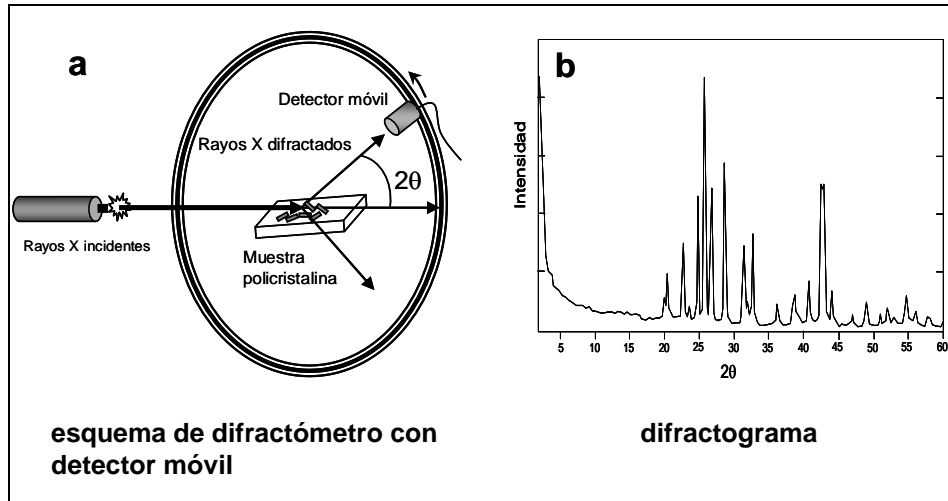


NaCl



Na₂SO₄

Cada diagrama de difracción de polvo es característico de cada fase mineral



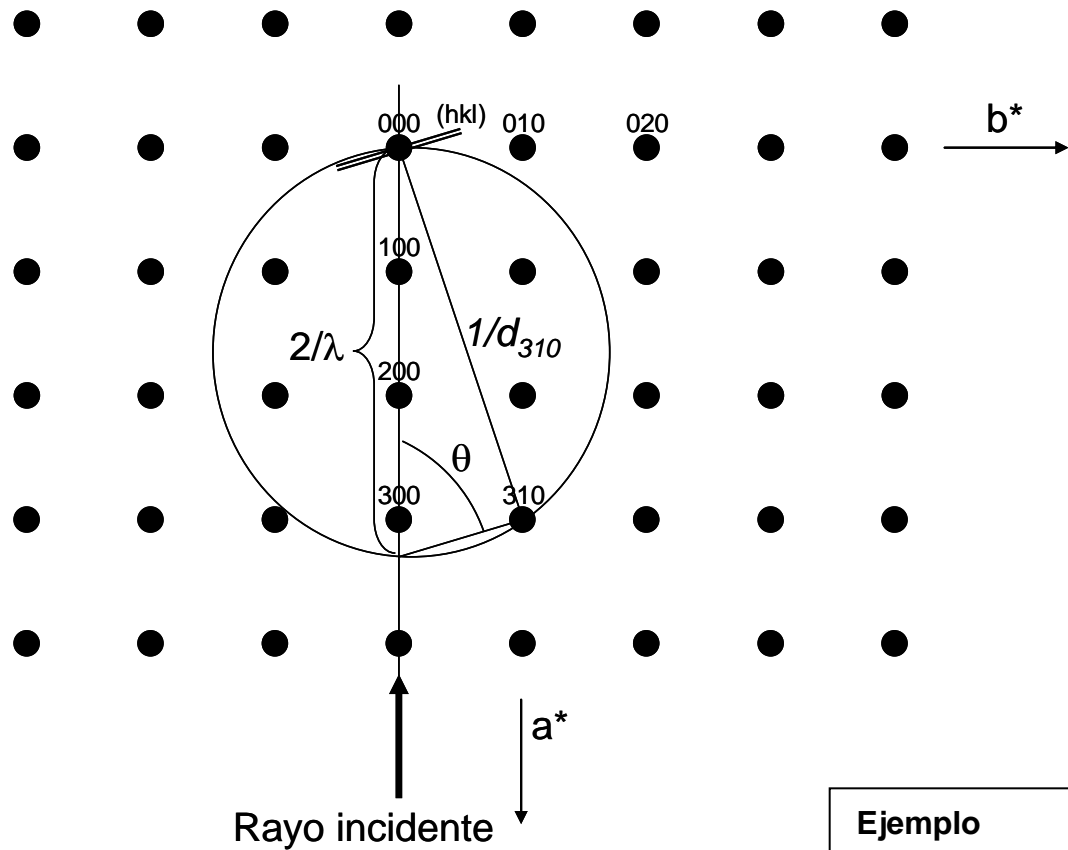
① ② ③ ④

6 - 2 5 6

d	3.36	2.86	1.98	3.59	HgS	★				
1/1 ₁	100	95	35	6	Mercury Sulfide (Cinnabar)					
Rad. CuKα ₁ λ 1.5405	Filter Ni	Dia.			d Å	1/1 ₁	hkl	d Å	1/1 ₁	hkl
Cut off	1/1 ₁	Diffractometer	1/1 cor.		3.59	6	100	1.258	8	116
Ref. Swanson et al., NBS Circular 539, Vol. 4, 17-20 (1955)					3.359	100	101	1.248	4	213
					3.165	30	003	1.1975	2	300
					2.863	95	102	1.1883	4	301,206
Sys. Hexagonal	S.G. P3 ₁ ,21	(152,154)			2.375	10	103	1.1787	4	214
a ₀ 4.149	b ₀	c ₀ 9.495	A	C 2.289	2.074	25	110	1.1614	4	302
a	β	γ	Z 3	Dx 8.187	2.026	12	111	1.1358	2	117
Ref. Ibid.					1.980	35	104	1.1271	4	108
					1.900	4	112	1.1201	4	303
					1.765	20	201	1.1047	6	215
εα	nωβ 2.905	εγ 3.256	Sign +		1.735	25	113	1.0828	2	207
2V	D 8.090	mp	Color Red		1.679	25	105	1.0693	2	304
Ref. Dana's System of Mineralogy, 7th Ed., Vol. 1					1.583	6	006	1.0309	4	221
					1.562	6	203	1.0132	2	222,305
Sample from the Fisher Scientific Co.					1.433	8	204	0.9910	<1	311,208
Spect. anal.: <0.1% Al, Ca, Mg, Na; <0.01% Fe, Mn, Si; <0.001% Ag, Cu, Pb. X-ray pattern at 26°C.					1.401	2	115	.9859	4	223
The sample was annealed in sulfur atmosphere at 325°C for 2 hours and cooled slowly.					1.358	6	210	.9753	4	312
Merck Index, 8th Ed., p. 661.					1.344	12	211	.9599	4	217
					1.305	10	212,205	.9503	4	224,313
					1.269	4	107			Plus 6 reflections.

Ficha de difracción de polvo del cinabrio

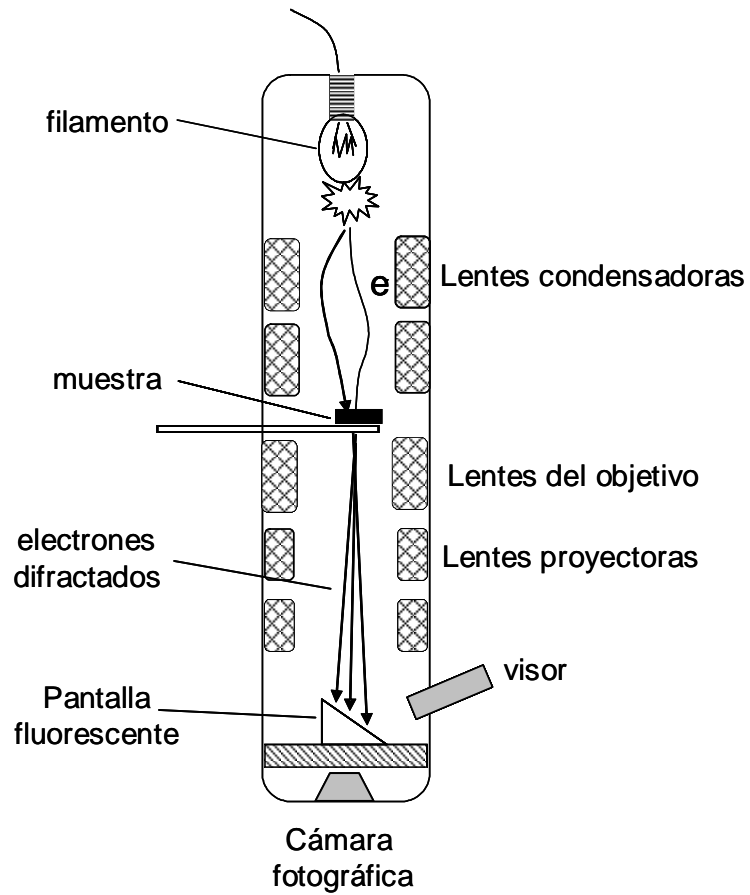
Construcción de Ewald



Ejemplo

$$\frac{1}{\frac{d_{310}}{2}} = \text{sen}\theta \quad \longrightarrow \quad \frac{1}{d_{310}} = \frac{2}{\lambda} \text{sen}\theta \quad \longrightarrow \quad \boxed{\lambda = 2d_{310} \text{sen}\theta}$$

Difracción de electrones: microscopía electrónica de transmisión

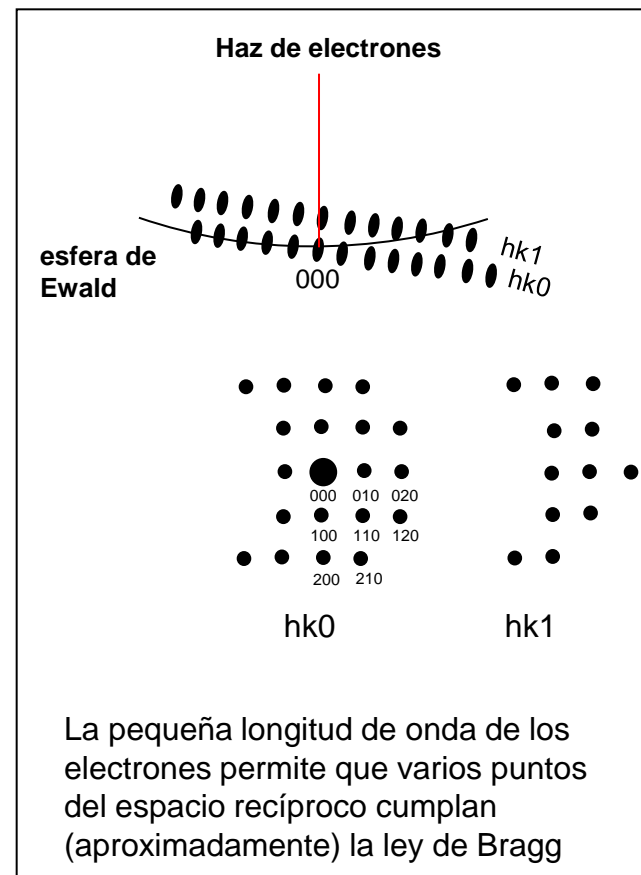
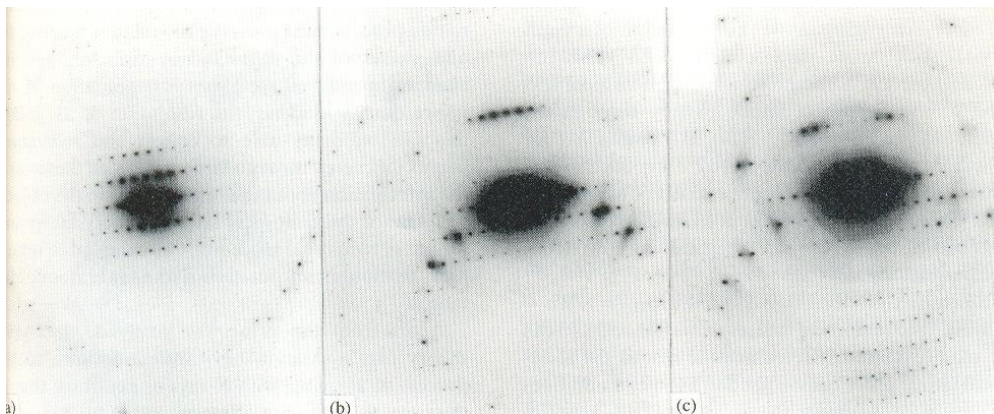


Microscopio electrónico de transmisión

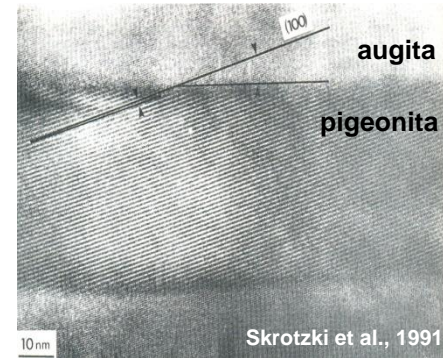
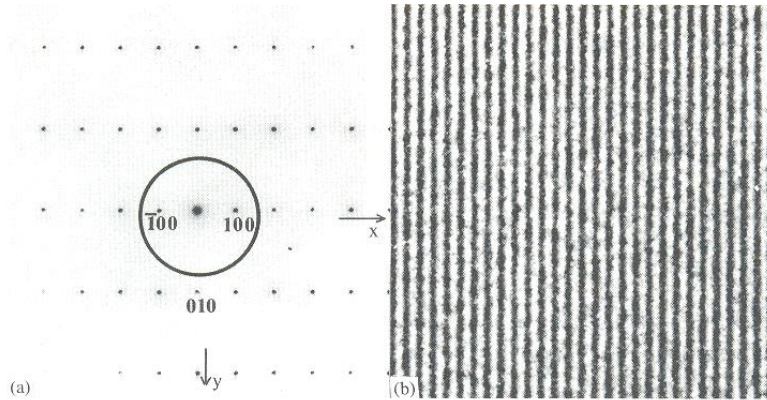


Imágenes que se pueden obtener con un microscopio electrónico de transmisión (TEM)

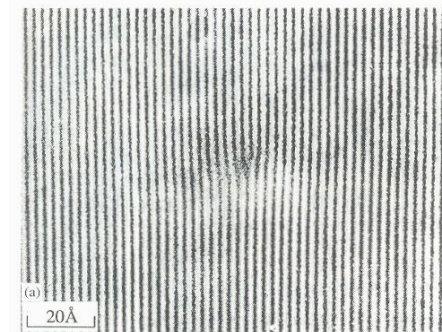
1.- Patrón de difracción de electrones (espacio recíproco)



2.- Imágenes de franjas reticulares "lattice fringes"

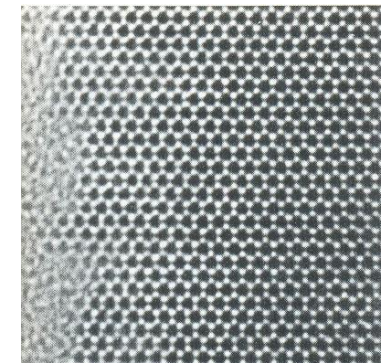
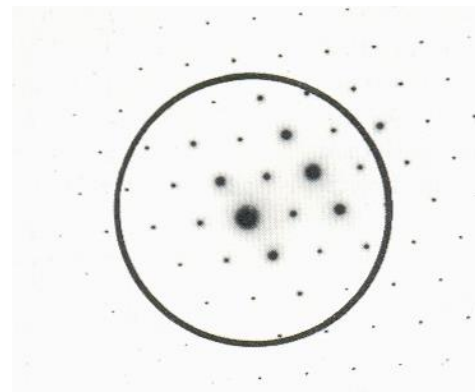


Interfase augita-pigeonita



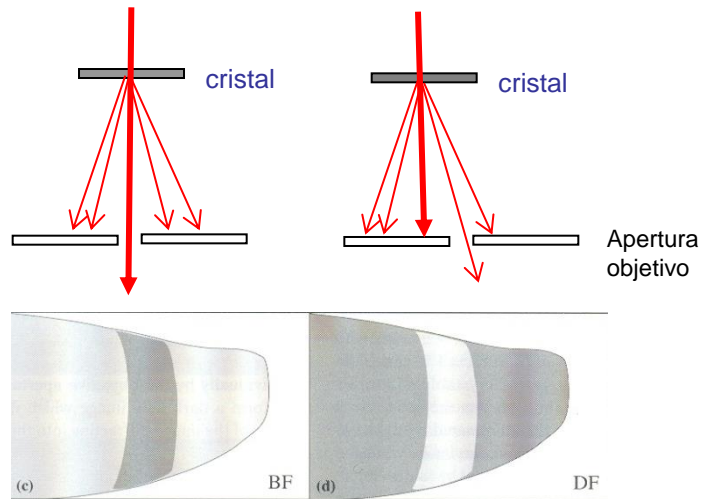
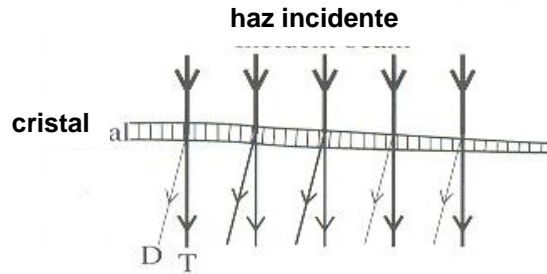
Dislocación de filo

3.- Imágenes de alta resolución



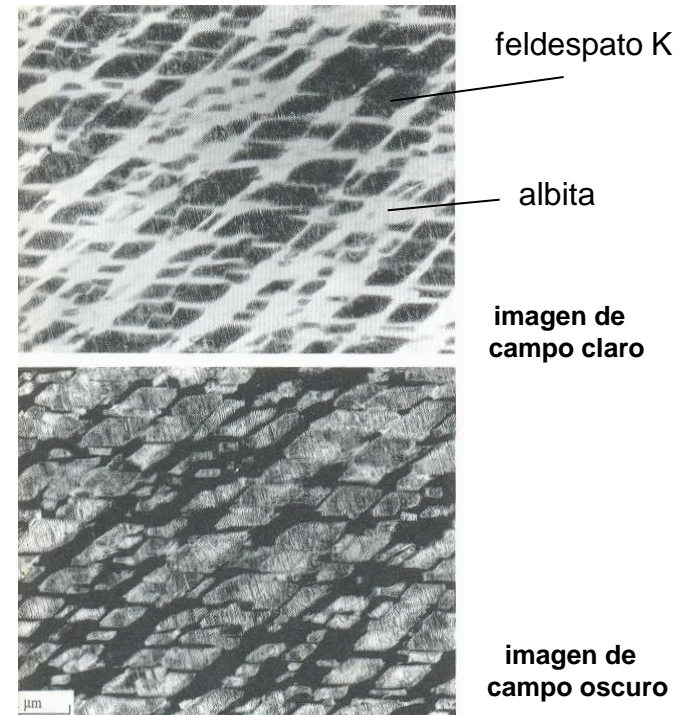
Proyección de la estructura de la cordierita a lo largo de $[001]$

4.- Imágenes de contraste de difracción



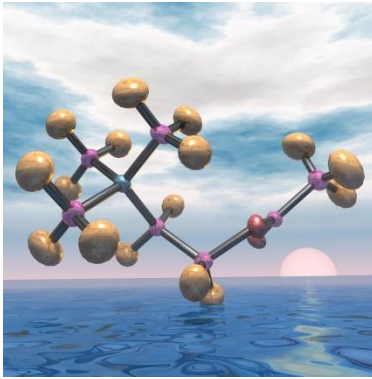
- Haz directo → imágenes de **campo claro** (Bright field (BF) images).
- Rayos difractados → imágenes de **campo oscuro** (Dark field (BF) images).

Exsolución y maclado en el sistema Feldespato K - Plagioclasa



Difracción de neutrones

Dispersión inelástica: Parte de la energía de vibración atómica puede transmitirse a los neutrones que entran en el cristal (especialmente cuando la longitud de onda de los neutrones es similar a la de las vibraciones) → información sobre las vibraciones de las redes cristalinas.



La vibraciones atómicas se representan mediante elipsoides

Acetylcholine (Nano-Dali) © CCLRC ISIS

Dispersión elástica: La dispersión elástica de los neutrones se emplea básicamente de la misma forma que los rayos X.

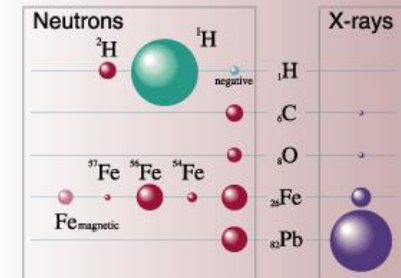
Neutrons, the Quiet Observers

Electrical neutrality ⇒ high penetrating power

Spin 1/2 ⇒ can find magnetic properties

Mass comparable to that of atomic nuclei
⇒ effectively gauge of atomic structure & dynamics

Scattering cross section changing for different isotopes, such as hydrogen
⇒ ideal probe of the configuration and kinetics of hydrogen, an element fundamental to biology.



Scattering cross section examples

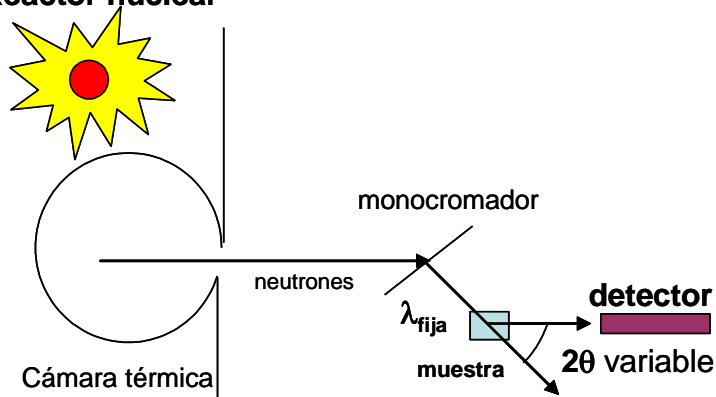
The sizes of the spheres show the sensitivity of neutrons. There is a marked difference in scattering cross section between the two types of hydrogen, light hydrogen (^1H) and deuterium (^2H).

Fuentes de generación de neutrones



<http://www.ecodiari.cat>

Reactor nuclear

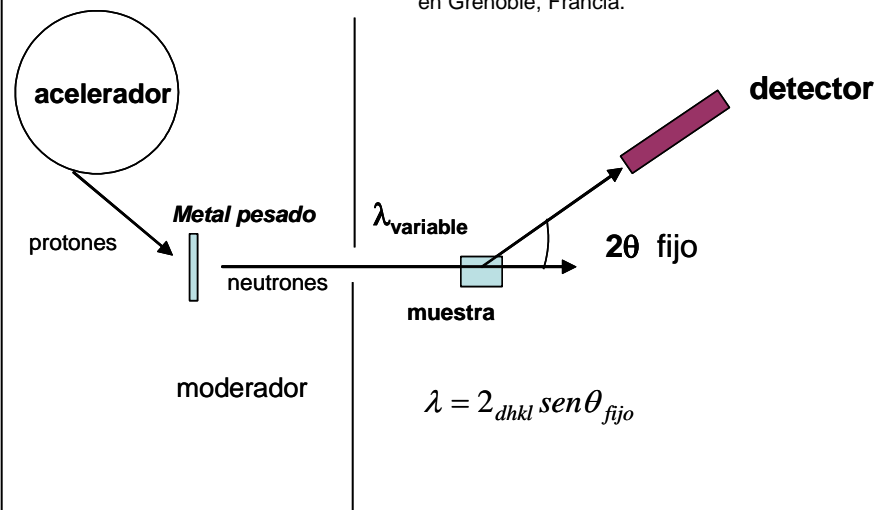


$$\text{sen } \theta = \frac{\lambda_{fija}}{2d_{hkl}}$$

Reactor nuclear



European Synchrotron Radiation Facility en Grenoble, Francia.



Acelerador de partículas